

$^{33}\text{S}(\text{n},\gamma)$  E=thermal    1985Ra15

Type	Author	Citation	Literature Cutoff Date
Full Evaluation	Ninel Nica, Balraj Singh	NDS 113,1563 (2012)	28-May-2012

**1985Ra15:** measured  $E\gamma$  and  $I\gamma$  with a Ge detector operated in Compton-suppressed and pair spectrometer modes at Los Alamos Omega West reactor facility. Deduced a detailed level scheme and compared results with data from other reactions. The intensities of some strong primary dipole  $\gamma$  rays compared with results for similar levels populated in (d,p) data. Detailed theoretical analysis using R-matrix approach.

Others:

**1983Ra04:** paper by the same group as **1985Ra15**. Measured S(n) for  $^{34}\text{S}$  based on 11 strong cascades. All 22  $E\gamma$  values stated are the same as in **1985Ra15**.

**2007ChZX:** prompt  $\gamma$  activation analysis (PGAA database for elemental analysis), natural target. In the measurements at Budapest, 5 primary and 6 secondary  $\gamma$  rays were identified. The energies and relative intensities (deduced from measured elemental cross sections) are in good agreement with those from **1985Ra15**. The normalization factor is also in agreement. The data in **1985Ra15** are much more complete and precise, thus adopted here. For data from **2007ChZX**, consult PGAA websites at IAEA and LBNL, most of which is taken from earlier ENSDF database which was based on data from **1985Ra15**.

Other: **2009KiZW** (method to identify nuclear levels based on neutron capture reactions).

 $^{34}\text{S}$  Levels

E(level) <sup>†</sup>	$J^{\pi\ddagger}$	E(level) <sup>†</sup>	$J^{\pi\ddagger}$
0.0	$0^+$	7467.72 10	(0 <sup>+</sup> ,1,2)
2127.564 13	2 <sup>+</sup>	7552.69 8	(1,2,3 <sup>-</sup> )
3304.212 13	2 <sup>+</sup>	7629.907 21	3 <sup>-</sup>
3916.408 21	0 <sup>+</sup>	7730.79 15	(1 <sup>-</sup> ,2 <sup>-</sup> ,3 <sup>-</sup> )
4074.667 14	1 <sup>+</sup>	7781.22 6	(1) <sup>-</sup>
4114.813 23	2 <sup>+</sup>	7974.72 16	(1,2 <sup>+</sup> )
4624.404 16	3 <sup>-</sup>	8036.30 14	(1 <sup>-</sup> ,2 <sup>+</sup> )
4688.98 5	4 <sup>+</sup>	8138.10 8	(1) <sup>-</sup>
4876.839 24	3 <sup>+</sup>	8175.1 5	(1,2 <sup>+</sup> )
4889.756 22	2 <sup>+</sup>	8185.46 13	(1) <sup>+</sup>
5228.175 23	0 <sup>+</sup>	8205.40 8	(1 <sup>-</sup> to 4 <sup>+</sup> )
5322.51 3	2 <sup>(-)</sup>	8294.39 9	(0 <sup>+</sup> to 3 <sup>-</sup> )
5380.99 4	1 <sup>+</sup>	8385.40 6	1 <sup>-</sup>
5679.927 17	3 <sup>-</sup>	8506.77 4	1 <sup>-</sup>
5755.875 21	1 <sup>-</sup>	8615.74 4	(2 <sup>-</sup> ,3 <sup>+</sup> )
5847.53 3	0 <sup>+</sup>	8702.35 13	(1 <sup>-</sup> ,2)
5998.10 8	2 <sup>+</sup>	8727.63 8	(1 <sup>-</sup> ,2 <sup>+</sup> )
6121.49 12	2 <sup>+</sup>	8805.66 25	(1,2 <sup>+</sup> )
6168.86 3	3 <sup>-</sup>	8874.02 8	(1 <sup>-</sup> ,2,3 <sup>+</sup> )
6251.22 19	4 <sup>+</sup>	9026.31 6	(1,2 <sup>+</sup> )
6251.68 9	4 <sup>-</sup>	9158.71 3	(1,2 <sup>+</sup> )
6342.50 10	1 <sup>-</sup>	9208.04 6	(1,2 <sup>+</sup> )
6421.42 12	4 <sup>-</sup>	9546.09 7	(1,2 <sup>+</sup> )
6428.12 8	(2 <sup>+</sup> )	9598.41 8	
6478.770 22	1 <sup>-</sup>	9665.74 4	
6685.33 3	(0 to 3) <sup>-</sup>	9801.89 10	(1,2 <sup>+</sup> )
6828.85 19	2 <sup>+</sup>	9836.70 6	
6847.90 7	(1,2 <sup>+</sup> )	9933.35 13	1 <sup>-</sup>
6954.22 3	(2) <sup>-</sup>	10092.23 16	
7110.45 4	3 <sup>-</sup>	10179.59 6	(1,2,3)
7164.47 18	(0 to 3) <sup>+</sup>	10212.15 5	
7219.28 7	(2 <sup>+</sup> )	10311.53 3	2 <sup>+</sup>
7248.05 11	(2 <sup>+,3<sup>-</sup>)</sup>	10650.11 20	
7367.42 10	(1 <sup>+,2<sup>+</sup>)</sup>	10840.64 15	3 <sup>-</sup>

Continued on next page (footnotes at end of table)

$^{33}\text{S}(\text{n},\gamma)$  E=thermal    1985Ra15 (continued) $^{34}\text{S}$  Levels (continued)

E(level) <sup>†</sup>	J <sup>π</sup> <sup>‡</sup>	Comments
11024.94 11 (11417.223 16)	1 <sup>-</sup> 1 <sup>+,2+</sup>	<p>E(level): from least-squares fit to E<math>\gamma</math> data, this value is higher by <math>\approx</math>0.10 keV from S(n)=11417.12 6 (2011AuZZ). Other: S(n)=11417.11 9 (2003Au03), 11417.22 5 and 11417.12 10 (1983Ra04) using ‘mass-doublet standard’ and ‘gold standard’, respectively.</p> <p>J<sup>π</sup>: s-wave capture in <math>^{33}\text{S}</math> g.s., J<sup>π</sup>=3/2<sup>+</sup>.</p> <p>Observed deexcitation intensity is 83% 2, other 17% intensity of the primary <math>\gamma</math> rays is unaccounted.</p>

<sup>†</sup> From least-squares fit to E $\gamma$  data. Normalized  $\chi^2$ =1.127, with only about 10 gamma-ray energies deviating by slightly more than two standard deviations. Doubly-placed  $\gamma$  rays were not used in the fitting procedure.

<sup>‡</sup> From Adopted Levels.

<sup>33</sup>S(n, $\gamma$ ) E=thermal 1985Ra15 (continued) $\gamma(^{34}\text{S})$ 

I $\gamma$  normalization: From intensity balance in the level scheme. 1985Ra15 give 0.220 with no uncertainty.

3

E $_{\gamma}$	I $_{\gamma}^{\dagger @}$	E $_i$ (level)	J $^{\pi}_i$	E $_f$	J $^{\pi}_f$	Mult. $^{\ddagger}$	Comments
x95.45 18	0.012 3						
151.8 #a	<0.02 #	5380.99	1 <sup>+</sup>	5228.175	0 <sup>+</sup>		
158.3 #a	<0.06 #	4074.667	1 <sup>+</sup>	3916.408	0 <sup>+</sup>		
187.9 #a	<0.03 #	4876.839	3 <sup>+</sup>	4688.98	4 <sup>+</sup>		
198.4 #a	<0.03 #	4114.813	2 <sup>+</sup>	3916.408	0 <sup>+</sup>		
200.8 #a	<0.02 #	4889.756	2 <sup>+</sup>	4688.98	4 <sup>+</sup>		
x229.71 16	0.054 10						
252.4 #a	<0.03 #	4876.839	3 <sup>+</sup>	4624.404	3 <sup>-</sup>		
265.4 #a	<0.02 #	4889.756	2 <sup>+</sup>	4624.404	3 <sup>-</sup>		
281.34 24	0.023 8	7110.45	3 <sup>-</sup>	6828.85	2 <sup>+</sup>		
306.63 16	0.089 20	6428.12	(2 <sup>+</sup> )	6121.49	2 <sup>+</sup>		
334.21 15	0.042 10	9208.04	(1,2 <sup>+</sup> )	8874.02	(1 <sup>-</sup> ,2,3 <sup>+</sup> )		
338.4 #a	<0.03 #	5228.175	0 <sup>+</sup>	4889.756	2 <sup>+</sup>		
351.3 #a	<0.10 #	5228.175	0 <sup>+</sup>	4876.839	3 <sup>+</sup>		
357.4 #a	<0.05 #	5679.927	3 <sup>-</sup>	5322.51	2 <sup>(-)</sup>		
392.28 11	0.124 20	(11417.223)	1 <sup>+,2<sup>+</sup></sup>	11024.94	1 <sup>-</sup>		Additional information 7.
432.8 #a	<0.06 #	5322.51	2 <sup>(-)</sup>	4889.756	2 <sup>+</sup>		
433.4 #a	<0.05 #	5755.875	1 <sup>-</sup>	5322.51	2 <sup>(-)</sup>		
445.7 #a	<0.06 #	5322.51	2 <sup>(-)</sup>	4876.839	3 <sup>+</sup>		
451.8 #a	<0.05 #	5679.927	3 <sup>-</sup>	5228.175	0 <sup>+</sup>		
491.2 #a	<0.06 #	5380.99	1 <sup>+</sup>	4889.756	2 <sup>+</sup>		
504.2 #a	<0.06 #	5380.99	1 <sup>+</sup>	4876.839	3 <sup>+</sup>		
516.86 12	0.32 5	8702.35	(1 <sup>-</sup> ,2)	8185.46	(1) <sup>+</sup>		
525.0 #a	<0.09 #	5847.53	0 <sup>+</sup>	5322.51	2 <sup>(-)</sup>		
527.7 #a	<0.05 #	5755.875	1 <sup>-</sup>	5228.175	0 <sup>+</sup>		
539.2 #a	<0.04 #	5228.175	0 <sup>+</sup>	4688.98	4 <sup>+</sup>		
549.7 #a	<0.05 #	4624.404	3 <sup>-</sup>	4074.667	1 <sup>+</sup>		
571.7 6	0.08 3	6251.68	4 <sup>-</sup>	5679.927	3 <sup>-</sup>	D	
576.80 19	0.146 21	(11417.223)	1 <sup>+,2<sup>+</sup></sup>	10840.64	3 <sup>-</sup>		
603.8 #a	<0.04 #	5228.175	0 <sup>+</sup>	4624.404	3 <sup>-</sup>		
612.16 5	0.26 3	3916.408	0 <sup>+</sup>	3304.212	2 <sup>+</sup>		
619.4 #a	<0.09 #	5847.53	0 <sup>+</sup>	5228.175	0 <sup>+</sup>		

<sup>33</sup>S(n, $\gamma$ ) E=thermal 1985Ra15 (continued) $\gamma(^{34}\text{S})$  (continued)

E <sub><math>\gamma</math></sub>	I <sub><math>\gamma</math></sub> <sup>†@</sup>	E <sub>i</sub> (level)	J <sub><math>i</math></sub> <sup><math>\pi</math></sup>	E <sub><math>f</math></sub>	J <sub><math>f</math></sub> <sup><math>\pi</math></sup>	Mult. <sup>‡</sup>
631.13 6	0.28 3	6478.770	1 <sup>-</sup>	5847.53	0 <sup>+</sup>	
633.5 <sup>#a</sup>	<0.11 <sup>#</sup>	5322.51	2 <sup>(-)</sup>	4688.98	4 <sup>+</sup>	
672.00 10	0.152 20	9546.09	(1,2 <sup>+</sup> )	8874.02	(1 <sup>-</sup> ,2,3 <sup>+</sup> )	
692.0 <sup>#a</sup>	<0.06 <sup>#</sup>	5380.99	1 <sup>+</sup>	4688.98	4 <sup>+</sup>	
698.18 13	0.101 14	5322.51	2 <sup>(-)</sup>	4624.404	3 <sup>-</sup>	
708.0 <sup>#a</sup>	<0.11 <sup>#</sup>	4624.404	3 <sup>-</sup>	3916.408	0 <sup>+</sup>	
722.95 14	0.175 22	6478.770	1 <sup>-</sup>	5755.875	1 <sup>-</sup>	
725.25 22	0.115 19	9933.35	1 <sup>-</sup>	9208.04	(1,2 <sup>+</sup> )	
x743.50 20	0.098 15					
748.43 14	0.127 17	10840.64	3 <sup>-</sup>	10092.23		
x752.30 8	0.22 3					
756.6 <sup>#a</sup>	<0.06 <sup>#</sup>	5380.99	1 <sup>+</sup>	4624.404	3 <sup>-</sup>	
762.0 <sup>#a</sup>	<0.11 <sup>#</sup>	4876.839	3 <sup>+</sup>	4114.813	2 <sup>+</sup>	
767.20 21	0.098 16	(11417.223)	1 <sup>+,2<sup>+</sup></sup>	10650.11		
770.428 20	2.75 25	4074.667	1 <sup>+</sup>	3304.212	2 <sup>+</sup>	D
774.9 <sup>#a</sup>	<0.09 <sup>#</sup>	4889.756	2 <sup>+</sup>	4114.813	2 <sup>+</sup>	
789.1 6	0.39 7	5679.927	3 <sup>-</sup>	4889.756	2 <sup>+</sup>	
798.92 10	0.29 4	6478.770	1 <sup>-</sup>	5679.927	3 <sup>-</sup>	
802.2 <sup>#a</sup>	<0.64 <sup>#</sup>	4876.839	3 <sup>+</sup>	4074.667	1 <sup>+</sup>	
803.103 27	1.14 11	5679.927	3 <sup>-</sup>	4876.839	3 <sup>+</sup>	
810.6 <sup>#a</sup>	<0.06 <sup>#</sup>	4114.813	2 <sup>+</sup>	3304.212	2 <sup>+</sup>	
815.1 <sup>#a</sup>	<0.06 <sup>#</sup>	4889.756	2 <sup>+</sup>	4074.667	1 <sup>+</sup>	
846.1 13	0.28 18	6168.86	3 <sup>-</sup>	5322.51	2 <sup>(-)</sup>	
866.1 <sup>#a</sup>	<0.07 <sup>#</sup>	5755.875	1 <sup>-</sup>	4889.756	2 <sup>+</sup>	
879.0 <sup>#a</sup>	<0.07 <sup>#</sup>	5755.875	1 <sup>-</sup>	4876.839	3 <sup>+</sup>	
925.79 14	0.171 21	8036.30	(1 <sup>-</sup> ,2 <sup>+</sup> )	7110.45	3 <sup>-</sup>	
929.436 21	1.07 10	6685.33	(0 to 3) <sup>-</sup>	5755.875	1 <sup>-</sup>	
940.7 <sup>#a</sup>	<0.29 <sup>#</sup>	6168.86	3 <sup>-</sup>	5228.175	0 <sup>+</sup>	
941.59 6	0.41 5	7110.45	3 <sup>-</sup>	6168.86	3 <sup>-</sup>	
957.8 <sup>#a</sup>	<0.14 <sup>#</sup>	5847.53	0 <sup>+</sup>	4889.756	2 <sup>+</sup>	
960.4 <sup>#a</sup>	<0.08 <sup>#</sup>	4876.839	3 <sup>+</sup>	3916.408	0 <sup>+</sup>	
970.7 <sup>#a</sup>	<0.14 <sup>#</sup>	5847.53	0 <sup>+</sup>	4876.839	3 <sup>+</sup>	
973.3 <sup>#a</sup>	<0.05 <sup>#</sup>	4889.756	2 <sup>+</sup>	3916.408	0 <sup>+</sup>	
982.68 9	0.19 3	9598.41		8615.74	(2 <sup>-</sup> ,3 <sup>+</sup> )	
989.1 <sup>&amp;</sup> 3	0.079 <sup>&amp;</sup> 23	7110.45	3 <sup>-</sup>	6121.49	2 <sup>+</sup>	
989.1 <sup>&amp;</sup> 3	0.079 <sup>&amp;</sup> 23	7467.72	(0 <sup>+,1,2</sup> )	6478.770	1 <sup>-</sup>	

$^{33}\text{S}(\text{n},\gamma)$  E=thermal 1985Ra15 (continued) $\gamma(^{34}\text{S})$  (continued)

$E_\gamma$	$I_\gamma^{\dagger @}$	$E_i(\text{level})$	$J_i^\pi$	$E_f$	$J_f^\pi$	Mult. $^{\ddagger}$	$\delta^{\ddagger}$	Comments
990.9 <i>#a</i>	<0.11 #	5679.927	3 <sup>-</sup>	4688.98	4 <sup>+</sup>			
<sup>x</sup> 1029.23 8	0.32 4							
<sup>x</sup> 1035.82 17	0.11 3							
1055.491 20	7.0 7	5679.927	3 <sup>-</sup>	4624.404	3 <sup>-</sup>			
1066.9 <i>#a</i>	<0.09 #	5755.875	1 <sup>-</sup>	4688.98	4 <sup>+</sup>			
1105.673 21	1.49 14	(11417.223)	1 <sup>+,2<sup>+</sup></sup>	10311.53	2 <sup>+</sup>			
1113.27 9	0.41 6	5228.175	0 <sup>+</sup>	4114.813	2 <sup>+</sup>			
1121.33 9	0.35 5	5998.10	2 <sup>+</sup>	4876.839	3 <sup>+</sup>			
1131.5 <i>#a</i>	<0.09 #	5755.875	1 <sup>-</sup>	4624.404	3 <sup>-</sup>			
1153.492 20	10.0 9	5228.175	0 <sup>+</sup>	4074.667	1 <sup>+</sup>	D		
1156.39 7	1.57 18	6478.770	1 <sup>-</sup>	5322.51	2 <sup>(-)</sup>			
1158.6 <i>#a</i>	<0.26 #	5847.53	0 <sup>+</sup>	4688.98	4 <sup>+</sup>			
<sup>x</sup> 1164.83 25	0.21 6							
1176.650 20	75 7	3304.212	2 <sup>+</sup>	2127.564	2 <sup>+</sup>	M1+E2	-0.16 2	<a href="#">Additional information 2.</a>
1205.05 4	0.61 6	(11417.223)	1 <sup>+,2<sup>+</sup></sup>	10212.15				
1207.7 <i>#a</i>	<0.16 #	5322.51	2 <sup>(-)</sup>	4114.813	2 <sup>+</sup>			
1210.04 13	0.162 22	7552.69	(1,2,3 <sup>-</sup> )	6342.50	1 <sup>-</sup>			
1223.1 <i>#a</i>	<0.20 #	5847.53	0 <sup>+</sup>	4624.404	3 <sup>-</sup>			
1237.61 5	0.52 6	(11417.223)	1 <sup>+,2<sup>+</sup></sup>	10179.59	(1,2,3)			
1244.32 21	0.12 3	8874.02	(1 <sup>-,2,3<sup>+</sup>)</sup>	7629.907	3 <sup>-</sup>			
1247.92 6	0.59 7	5322.51	2 <sup>(-)</sup>	4074.667	1 <sup>+</sup>			
1250.6 <i>#a</i>	<0.22 #	6478.770	1 <sup>-</sup>	5228.175	0 <sup>+</sup>			
1266.11 5	0.66 7	5380.99	1 <sup>+</sup>	4114.813	2 <sup>+</sup>			
1274.30 4	1.17 11	6954.22	(2) <sup>-</sup>	5679.927	3 <sup>-</sup>			
<sup>x</sup> 1277.81 18	0.19 3							
1279.1 <i>#a</i>	<0.11 #	6168.86	3 <sup>-</sup>	4889.756	2 <sup>+</sup>			
1292.0 <i>#a</i>	<0.09 #	6168.86	3 <sup>-</sup>	4876.839	3 <sup>+</sup>			
1306.3 <i>#a</i>	<0.10 #	5380.99	1 <sup>+</sup>	4074.667	1 <sup>+</sup>			
1320.169 20	38 4	4624.404	3 <sup>-</sup>	3304.212	2 <sup>+</sup>	D		<a href="#">Additional information 6.</a>
1325.2 3	0.33 7	(11417.223)	1 <sup>+,2<sup>+</sup></sup>	10092.23				
1353.46 16	0.38 5	7781.22	(1) <sup>-</sup>	6428.12	(2 <sup>+</sup> )			
1364.4 4	0.32 9	10092.23		8727.63	(1 <sup>-,2<sup>+</sup>)</sup>			
1374.34 20	0.37 8	6251.22	4 <sup>+</sup>	4876.839	3 <sup>+</sup>	M1+E2	-3.7 +7-26	
1406.1 <i>#a</i>	<0.10 #	5322.51	2 <sup>(-)</sup>	3916.408	0 <sup>+</sup>			
<sup>x</sup> 1435.00 11	0.30 5							
<sup>x</sup> 1443.05 10	0.37 5							
1464.6 <i>#a</i>	<0.10 #	5380.99	1 <sup>+</sup>	3916.408	0 <sup>+</sup>			
1469.67 24	0.23 4	7467.72	(0 <sup>+,1,2)</sup>	5998.10	2 <sup>+</sup>			

<sup>33</sup>S(n, $\gamma$ ) E=thermal    1985Ra15 (continued) $\gamma(^{34}\text{S})$  (continued)

$E_\gamma$	$I_\gamma^{\dagger @}$	$E_i(\text{level})$	$J_i^\pi$	$E_f$	$J_f^\pi$	Mult. <sup>‡</sup>	$\delta^{\ddagger}$	Comments
1479.73 15	0.26 3	6168.86	3 <sup>-</sup>	4688.98	4 <sup>+</sup>			
1484.06 19	0.33 5	(11417.223)	1 <sup>+,2<sup>+</sup></sup>	9933.35	1 <sup>-</sup>			
<sup>x</sup> 1486.7 8	0.18 5							
1525.39 6	1.13 11	6847.90	(1,2 <sup>+</sup> )	5322.51	2 <sup>(-)</sup>			
1544.41 & 10	2.58 & 24	6168.86	3 <sup>-</sup>	4624.404	3 <sup>-</sup>			
1544.41 & 10	2.58 & 24	6421.42	4 <sup>-</sup>	4876.839	3 <sup>+</sup>	D		
1562.3 5	0.80 20	6251.22	4 <sup>+</sup>	4688.98	4 <sup>+</sup>			
1564.8 5	0.91 20	5679.927	3 <sup>-</sup>	4114.813	2 <sup>+</sup>			
1572.57 5	5.6 6	4876.839	3 <sup>+</sup>	3304.212	2 <sup>+</sup>	M1+E2	-0.09 4	
1580.50 6	0.66 7	(11417.223)	1 <sup>+,2<sup>+</sup></sup>	9836.70				
1585.510 20	2.52 23	4889.756	2 <sup>+</sup>	3304.212	2 <sup>+</sup>			
1589.0 <sup>#a</sup>	<0.11 <sup>#</sup>	6478.770	1 <sup>-</sup>	4889.756	2 <sup>+</sup>			
1602.06 15	0.43 7	6478.770	1 <sup>-</sup>	4876.839	3 <sup>+</sup>			
1605.3 <sup>#a</sup>	<0.11 <sup>#</sup>	5679.927	3 <sup>-</sup>	4074.667	1 <sup>+</sup>			
1615.24 10	2.3 3	(11417.223)	1 <sup>+,2<sup>+</sup></sup>	9801.89	(1,2 <sup>+</sup> )			
1617.00 12	1.94 25	8727.63	(1 <sup>-</sup> ,2 <sup>+</sup> )	7110.45	3 <sup>-</sup>			
1627.2 10	0.19 7	6251.68	4 <sup>-</sup>	4624.404	3 <sup>-</sup>			
1631.641 25	2.9 3	6954.22	(2) <sup>-</sup>	5322.51	2 <sup>(-)</sup>			
1640.7 10	0.17 10	5755.875	1 <sup>-</sup>	4114.813	2 <sup>+</sup>			
1681.2 <sup>#a</sup>	<0.09 <sup>#</sup>	5755.875	1 <sup>-</sup>	4074.667	1 <sup>+</sup>			
1732.39 11	0.44 6	6421.42	4 <sup>-</sup>	4688.98	4 <sup>+</sup>	D		
1732.7 <sup>#a</sup>	<0.75 <sup>#</sup>	5847.53	0 <sup>+</sup>	4114.813	2 <sup>+</sup>			
1739.32 9	0.48 6	6428.12	(2 <sup>+</sup> )	4688.98	4 <sup>+</sup>			
1751.43 3	1.44 14	(11417.223)	1 <sup>+,2<sup>+</sup></sup>	9665.74				
1763.5 <sup>#a</sup>	<0.11 <sup>#</sup>	5679.927	3 <sup>-</sup>	3916.408	0 <sup>+</sup>			
1772.82 4	1.40 14	5847.53	0 <sup>+</sup>	4074.667	1 <sup>+</sup>			
1788.794 20	79 8	3916.408	0 <sup>+</sup>	2127.564	2 <sup>+</sup>	E2		Additional information 4.
1795.3 & 3	0.19 & 5	8138.10	(1) <sup>-</sup>	6342.50	1 <sup>-</sup>			
1795.3 & 3	0.19 & 5	9933.35	1 <sup>-</sup>	8138.10	(1) <sup>-</sup>			
1818.96 14	0.38 6	(11417.223)	1 <sup>+,2<sup>+</sup></sup>	9598.41				
1839.5 <sup>#a</sup>	<0.70 <sup>#</sup>	5755.875	1 <sup>-</sup>	3916.408	0 <sup>+</sup>			
1840.52 12	0.56 9	9208.04	(1,2 <sup>+</sup> )	7367.42	(1 <sup>+,2<sup>+</sup>)</sup>			
1854.28 4	1.28 13	6478.770	1 <sup>-</sup>	4624.404	3 <sup>-</sup>			
1871.04 8	2.04 22	(11417.223)	1 <sup>+,2<sup>+</sup></sup>	9546.09	(1,2 <sup>+</sup> )			
<sup>x</sup> 1887.66 4	1.78 17							
1922.92 22	0.61 11	5998.10	2 <sup>+</sup>	4074.667	1 <sup>+</sup>			
1924.0 <sup>#a</sup>	<0.21 <sup>#</sup>	5228.175	0 <sup>+</sup>	3304.212	2 <sup>+</sup>			
1925.94 17	0.28 8	10311.53	2 <sup>+</sup>	8385.40	1 <sup>-</sup>			

$^{33}\text{S}(\text{n},\gamma)$  E=thermal    **1985Ra15** (continued) $\gamma(^{34}\text{S})$  (continued)

$E_\gamma$	$I_\gamma^{\dagger @}$	$E_i(\text{level})$	$J_i^\pi$	$E_f$	$J_f^\pi$	Mult. <sup>‡</sup>	$\delta^{\ddagger}$	Comments
1947.060 20	29 3	4074.667	1 <sup>+</sup>	2127.564	2 <sup>+</sup>			
1951.77 19	0.53 11	8294.39	(0 <sup>+</sup> to 3 <sup>-</sup> )	6342.50	1 <sup>-</sup>			
1959.67 17	0.88 11	9208.04	(1,2 <sup>+</sup> )	7248.05	(2 <sup>+,3-</sup> )			
x1980.15 12	0.64 9							
x1984.2 4	0.50 14							
1987.19 3	6.5 7	4114.813	2 <sup>+</sup>	2127.564	2 <sup>+</sup>	M1+E2	-0.40 5	
1998.3 4	0.14 5	11024.94	1 <sup>-</sup>	9026.31	(1,2 <sup>+</sup> )			
2018.3 #a	<0.11 #	5322.51	2 <sup>(-)</sup>	3304.212	2 <sup>+</sup>			
x2046.29 5	1.78 18							
2053.94 14	0.59 9	6168.86	3 <sup>-</sup>	4114.813	2 <sup>+</sup>			
2076.89 8	1.48 16	5380.99	1 <sup>+</sup>	3304.212	2 <sup>+</sup>			
2094.2 #a	<0.11 #	6168.86	3 <sup>-</sup>	4074.667	1 <sup>+</sup>			
2127.499 20	318 29	2127.564	2 <sup>+</sup>	0.0	0 <sup>+</sup>	E2		Additional information 1.
2152.41 23	0.17 5	9933.35	1 <sup>-</sup>	7781.22	(1) <sup>-</sup>			
2173.55 21	0.16 5	10311.53	2 <sup>+</sup>	8138.10	(1) <sup>-</sup>			
2209.10 6	0.86 9	(11417.223)	1 <sup>+,2+</sup>	9208.04	(1,2 <sup>+</sup> )			
2230.14 14	0.80 10	7552.69	(1,2,3 <sup>-</sup> )	5322.51	2 <sup>(-)</sup>			
2233.49 4	5.0 5	7110.45	3 <sup>-</sup>	4876.839	3 <sup>+</sup>			
2252.5 #a	<0.11 #	6168.86	3 <sup>-</sup>	3916.408	0 <sup>+</sup>			
2258.430 23	3.7 4	(11417.223)	1 <sup>+,2+</sup>	9158.71	(1,2 <sup>+</sup> )			
x2282.17 4	1.70 16							
2290.26 15	0.27 5	8138.10	(1) <sup>-</sup>	5847.53	0 <sup>+</sup>			
2307.4 #a	<0.13 #	7629.907	3 <sup>-</sup>	5322.51	2 <sup>(-)</sup>			
2326.2 & 10	0.05 & 4	8805.66	(1,2 <sup>+</sup> )	6478.770	1 <sup>-</sup>			
2326.2 & 10	0.05 & 4	9546.09	(1,2 <sup>+</sup> )	7219.28	(2 <sup>+</sup> )			
2328.8 5	0.14 4	7219.28	(2 <sup>+</sup> )	4889.756	2 <sup>+</sup>			
2353.06 21	0.23 4	6428.12	(2 <sup>+</sup> )	4074.667	1 <sup>+</sup>			
2363.97 8	2.1 11	8615.74	(2 <sup>-,3+</sup> )	6251.68	4 <sup>-</sup>			
2375.657 20	26.0 24	5679.927	3 <sup>-</sup>	3304.212	2 <sup>+</sup>	D+Q	<-0.4	
2390.82 6	1.33 14	(11417.223)	1 <sup>+,2+</sup>	9026.31	(1,2 <sup>+</sup> )			
2401.7 #a	<0.13 #	7629.907	3 <sup>-</sup>	5228.175	0 <sup>+</sup>			
2404.04 6	1.07 11	6478.770	1 <sup>-</sup>	4074.667	1 <sup>+</sup>			
x2441.31 4	1.75 17							
2451.557 20	5.2 5	5755.875	1 <sup>-</sup>	3304.212	2 <sup>+</sup>			
x2475.15 4	1.71 17							
2490.6 13	0.62 16	7367.42	(1 <sup>+,2+</sup> )	4876.839	3 <sup>+</sup>			
2496.726 20	15.4 14	4624.404	3 <sup>-</sup>	2127.564	2 <sup>+</sup>	D		
2530.25 10	0.51 7	7219.28	(2 <sup>+</sup> )	4688.98	4 <sup>+</sup>			
2543.13 & 10	9.6 & 9	5847.53	0 <sup>+</sup>	3304.212	2 <sup>+</sup>			

<sup>33</sup>S(n, $\gamma$ ) E=thermal 1985Ra15 (continued) $\gamma(^{34}\text{S})$  (continued)

$E_\gamma$	$I_\gamma^{\dagger @}$	$E_i(\text{level})$	$J_i^\pi$	$E_f$	$J_f^\pi$	Mult. $^{\ddagger}$	$\delta^{\ddagger}$
2543.13 & 10	9.6 & 9	(11417.223)	1+,2+	8874.02	(1-,2,3+)		
2558.82 13	1.24 14	7248.05	(2+,3-)	4688.98	4+		
2561.36 5	3.6 4	4688.98	4+	2127.564	2+	E2	
2611.7 4	1.2 3	(11417.223)	1+,2+	8805.66	(1,2+)		
2689.50 10	2.16 24	(11417.223)	1+,2+	8727.63	(1-,2+)		
2714.50 19	2.8 5	(11417.223)	1+,2+	8702.35	(1-,2)		
2740.2 #a	<0.18 #	7629.907	3-	4889.756	2+		
2749.24 5	7.0 7	4876.839	3+	2127.564	2+	M1+E2	-0.11 3
2753.3 13	0.93 23	6828.85	2+	4074.667	1+		
2762.10 8	3.0 3	4889.756	2+	2127.564	2+		
2801.33 5	10.1 10	(11417.223)	1+,2+	8615.74	(2-,3+)		
x2810.3 3	0.87 13						
2817.76 & 25	0.84 & 13	6121.49	2+	3304.212	2+	Q	
2817.76 & 25	0.84 & 13	9665.74		6847.90	(1,2+)		
2839.3 4	1.00 16	6954.22	(2)-	4114.813	2+		
2843.7 6	0.59 13	10311.53	2+	7467.72	(0+,1,2)		
2864.56 4	10.9 11	6168.86	3-	3304.212	2+	D+Q	-0.23 7
2910.28 5	10.0 10	(11417.223)	1+,2+	8506.77	1-		
2919.7 5	0.43 11	10650.11		7730.79	(1-,2-,3-)		
2940.4 3	1.05 15	7629.907	3-	4688.98	4+		
2945.8 & 10	0.30 & 9	8175.1	(1,2+)	5228.175	0+		
2945.8 & 10	0.30 & 9	8702.35	(1-,2)	5755.875	1-		
2989.9 7	0.18 9	9836.70		6847.90	(1,2+)		
2995.8 6	0.37 10	7110.45	3-	4114.813	2+		
3005.39 5	10.0 10	7629.907	3-	4624.404	3-		
3022.0 10	0.16 9	8702.35	(1-,2)	5679.927	3-		
3031.69 8	4.6 6	(11417.223)	1+,2+	8385.40	1-		
3038.2 3	1.27 17	6342.50	1-	3304.212	2+	D+Q	-0.55 65
x3051.8 3	0.64 12						
3089.5 3	0.56 11	7164.47	(0 to 3)+	4074.667	1+		
3100.6 #a	<0.21 #	5228.175	0+	2127.564	2+		
3122.65 15	2.7 4	(11417.223)	1+,2+	8294.39	(0+ to 3-)		
x3149.29 15	0.89 12						
3174.37 5	10.5 10	6478.770	1-	3304.212	2+		
3183.9 7	0.12 8	8506.77	1-	5322.51	2(-)		
3194.74 5	7.4 8	5322.51	2(-)	2127.564	2+	D+Q	-0.17 6
3211.69 9	2.36 23	(11417.223)	1+,2+	8205.40	(1- to 4+)		
3231.89 20	0.84 11	(11417.223)	1+,2+	8185.46	(1)+		
3241.9 5	0.36 7	(11417.223)	1+,2+	8175.1	(1,2+)		

<sup>33</sup>S(n, $\gamma$ ) E=thermal    1985Ra15 (continued) $\gamma(^{34}\text{S})$  (continued)

$E_\gamma$	$I_\gamma^{\dagger @}$	$E_i(\text{level})$	$J_i^\pi$	$E_f$	$J_f^\pi$	Mult. <sup>‡</sup>	$\delta^{\ddagger}$	Comments
3253.21 6	3.8 4	5380.99	1 <sup>+</sup>	2127.564	2 <sup>+</sup>			
3278.79 11	3.2 4	(11417.223)	1 <sup>+,2<sup>+</sup></sup>	8138.10	(1) <sup>-</sup>			
3304.031 20	63 6	3304.212	2 <sup>+</sup>	0.0	0 <sup>+</sup>	E2		Additional information 3.
3311.6 5	0.62 11	9158.71	(1,2 <sup>+</sup> )	5847.53	0 <sup>+</sup>			
3392.86 24	1.57 19	7467.72	(0 <sup>+,1,2<sup>+</sup>)</sup>	4074.667	1 <sup>+</sup>			
3442.24 25	1.02 16	(11417.223)	1 <sup>+,2<sup>+</sup></sup>	7974.72	(1,2 <sup>+</sup> )			
3451.5 9	0.35 10	7367.42	(1 <sup>+,2<sup>+</sup>)</sup>	3916.408	0 <sup>+</sup>			
3476.95 18	0.71 10	9598.41		6121.49	2 <sup>+</sup>			
3500.3 5	0.48 11	8727.63	(1 <sup>-,2<sup>+</sup>)</sup>	5228.175	0 <sup>+</sup>			
3515.07 11	1.43 16	7629.907	3 <sup>-</sup>	4114.813	2 <sup>+</sup>			
3552.08 4	17.34 17	5679.927	3 <sup>-</sup>	2127.564	2 <sup>+</sup>	D+Q	-0.47 +7-11	
3581.2 4	0.37 7	8205.40	(1 <sup>-</sup> to 4 <sup>+</sup> )	4624.404	3 <sup>-</sup>			
3628.10 4	17.6 16	5755.875	1 <sup>-</sup>	2127.564	2 <sup>+</sup>			
3635.83 8	5.2 6	(11417.223)	1 <sup>+,2<sup>+</sup></sup>	7781.22	(1) <sup>-</sup>			
3644.8 8	0.48 10	9026.31	(1,2 <sup>+</sup> )	5380.99	1 <sup>+</sup>			
3649.88 12	3.1 3	6954.22	(2) <sup>-</sup>	3304.212	2 <sup>+</sup>			
3664.8 4	0.47 10	10092.23		6428.12	(2 <sup>+) )</sup>			
3713.5 #a	<0.18 #	7629.907	3 <sup>-</sup>	3916.408	0 <sup>+</sup>			
3719.68 16	1.91 20	5847.53	0 <sup>+</sup>	2127.564	2 <sup>+</sup>			
3738.69 17	1.18 17	8615.74	(2 <sup>-,3<sup>+</sup>)</sup>	4876.839	3 <sup>+</sup>			
3787.096 20	26.5 25	(11417.223)	1 <sup>+,2<sup>+</sup></sup>	7629.907	3 <sup>-</sup>			Additional information 8.
3812.0 5	0.25 6	8702.35	(1 <sup>-,2<sup>+</sup>)</sup>	4889.756	2 <sup>+</sup>			
3864.25 11	1.68 17	(11417.223)	1 <sup>+,2<sup>+</sup></sup>	7552.69	(1,2,3 <sup>-</sup> )			
3870.51 31	0.56 8	5998.10	2 <sup>+</sup>	2127.564	2 <sup>+</sup>			
3949.27 12	1.54 17	(11417.223)	1 <sup>+,2<sup>+</sup></sup>	7467.72	(0 <sup>+,1,2<sup>+</sup>)</sup>			
3990.7 7	0.29 7	8615.74	(2 <sup>-,3<sup>+</sup>)</sup>	4624.404	3 <sup>-</sup>			
3994.8 8	0.25 7	6121.49	2 <sup>+</sup>	2127.564	2 <sup>+</sup>			
4040.63 29	0.54 8	6168.86	3 <sup>-</sup>	2127.564	2 <sup>+</sup>	D+Q	-0.43 16	
4049.68 15	1.17 13	(11417.223)	1 <sup>+,2<sup>+</sup></sup>	7367.42	(1 <sup>+,2<sup>+</sup>)</sup>			
4074.418 20	31 3	4074.667	1 <sup>+</sup>	0.0	0 <sup>+</sup>	D		
4114.52 4	8.6 9	4114.813	2 <sup>+</sup>	0.0	0 <sup>+</sup>	E2		
4197.69 9	3.0 4	(11417.223)	1 <sup>+,2<sup>+</sup></sup>	7219.28	(2 <sup>+) )</sup>			
4248.28 21	1.59 18	7552.69	(1,2,3 <sup>-</sup> )	3304.212	2 <sup>+</sup>			
4252.38 22	1.23 15	(11417.223)	1 <sup>+,2<sup>+</sup></sup>	7164.47	(0 to 3) <sup>+</sup>			
4306.44 6	8.3 8	(11417.223)	1 <sup>+,2<sup>+</sup></sup>	7110.45	3 <sup>-</sup>			
4325.40 3	12.7 12	7629.907	3 <sup>-</sup>	3304.212	2 <sup>+</sup>			
4350.85 9	6.2 7	6478.770	1 <sup>-</sup>	2127.564	2 <sup>+</sup>	D+Q	-1.1 9	
4391.8 3	0.44 9	8506.77	1 <sup>-</sup>	4114.813	2 <sup>+</sup>			
4462.44 20	7.9 8	(11417.223)	1 <sup>+,2<sup>+</sup></sup>	6954.22	(2) <sup>-</sup>			
4499.7 10	0.23 7	10179.59	(1,2,3 <sup>+</sup> )	5679.927	3 <sup>-</sup>			
4532.6 7	0.23 7	10212.15		5679.927	3 <sup>-</sup>			

$^{33}\text{S}(\text{n},\gamma)$  E=thermal 1985Ra15 (continued) $\gamma(^{34}\text{S})$  (continued)

$E_\gamma$	$I_\gamma^{\dagger @}$	$E_i(\text{level})$	$J_i^\pi$	$E_f$	$J_f^\pi$	Mult. <sup>‡</sup>	Comments
4540.68 15	1.70 20	8615.74	(2 <sup>-</sup> ,3 <sup>+</sup> )	4074.667	1 <sup>+</sup>		
4568.9 4	0.30 6	(11417.223)	1 <sup>+,2<sup>+</sup></sup>	6847.90	(1,2 <sup>+</sup> )		
4588.4 3	0.59 10	(11417.223)	1 <sup>+,2<sup>+</sup></sup>	6828.85	2 <sup>+</sup>		
4624.2 5	0.21 5	4624.404	3 <sup>-</sup>	0.0	0 <sup>+</sup>	[E3]	
4670.1 6	0.11 6	7974.72	(1,2 <sup>+</sup> )	3304.212	2 <sup>+</sup>		
4731.37 10	1.58 16	(11417.223)	1 <sup>+,2<sup>+</sup></sup>	6685.33	(0 to 3) <sup>-</sup>		
4758.8 3	0.46 8	8874.02	(1 <sup>-,2,3<sup>+</sup>)</sup>	4114.813	2 <sup>+</sup>		
4799.1 3	0.52 8	8874.02	(1 <sup>-,2,3<sup>+</sup>)</sup>	4074.667	1 <sup>+</sup>		
4826.0 5	0.11 5	6954.22	(2) <sup>-</sup>	2127.564	2 <sup>+</sup>		
4876.8# <i>a</i>	<0.25#	4876.839	3 <sup>+</sup>	0.0	0 <sup>+</sup>		
4889.30 8	2.7 3	4889.756	2 <sup>+</sup>	0.0	0 <sup>+</sup>	E2	
4903.4 5	0.28 8	11024.94	1 <sup>-</sup>	6121.49	2 <sup>+</sup>		
4938.06 3	22.2 21	(11417.223)	1 <sup>+,2<sup>+</sup></sup>	6478.770	1 <sup>-</sup>		
4982.44 20	1.31 14	7110.45	3 <sup>-</sup>	2127.564	2 <sup>+</sup>		
4988.6 4	0.63 9	10311.53	2 <sup>+</sup>	5322.51	2 <sup>(-)</sup>		
5036.4 7	0.25 6	7164.47	(0 to 3) <sup>+</sup>	2127.564	2 <sup>+</sup>		
5043.3 4	1.6 3	9158.71	(1,2 <sup>+</sup> )	4114.813	2 <sup>+</sup>		
5074.79 25	0.42 8	(11417.223)	1 <sup>+,2<sup>+</sup></sup>	6342.50	1 <sup>-</sup>		
5084.2 5	0.14 5	9158.71	(1,2 <sup>+</sup> )	4074.667	1 <sup>+</sup>		
5202.06 6	3.0 3	8506.77	1 <sup>-</sup>	3304.212	2 <sup>+</sup>		
5239.8 4	0.65 9	7367.42	(1 <sup>+,2<sup>+</sup>)</sup>	2127.564	2 <sup>+</sup>		
5247.94 4	11.8 11	(11417.223)	1 <sup>+,2<sup>+</sup></sup>	6168.86	3 <sup>-</sup>		
5268.9& 6	0.27& 7	10650.11		5380.99	1 <sup>+</sup>		
5268.9 6	0.27 7	11024.94	1 <sup>-</sup>	5755.875	1 <sup>-</sup>		
5294.94 24	0.42 8	(11417.223)	1 <sup>+,2<sup>+</sup></sup>	6121.49	2 <sup>+</sup>		
5311.10 15	0.80 10	8615.74	(2 <sup>-</sup> ,3 <sup>+</sup> )	3304.212	2 <sup>+</sup>		
5322.5# <i>a</i>	<0.24#	5322.51	2 <sup>(-)</sup>	0.0	0 <sup>+</sup>		
5380.59 9	1.97 20	5380.99	1 <sup>+</sup>	0.0	0 <sup>+</sup>	D	
5501.4 5	0.46 9	8805.66	(1,2 <sup>+</sup> )	3304.212	2 <sup>+</sup>		
5569.30 5	5.6 6	(11417.223)	1 <sup>+,2<sup>+</sup></sup>	5847.53	0 <sup>+</sup>		
5602.78 15	1.15 14	7730.79	(1 <sup>-,2<sup>-,3<sup>-</sup>)</sup></sup>	2127.564	2 <sup>+</sup>		
5660.78 6	18.4 18	(11417.223)	1 <sup>+,2<sup>+</sup></sup>	5755.875	1 <sup>-</sup>		Additional information 9.
5679.9# <i>a</i>	<0.53#	5679.927	3 <sup>-</sup>	0.0	0 <sup>+</sup>		Additional information 10.
5736.76 4	43 4	(11417.223)	1 <sup>+,2<sup>+</sup></sup>	5679.927	3 <sup>-</sup>		
5755.5 5	0.51 8	5755.875	1 <sup>-</sup>	0.0	0 <sup>+</sup>		
5847.4 5	0.25 6	7974.72	(1,2 <sup>+</sup> )	2127.564	2 <sup>+</sup>		
5884.6 6	0.27 6	9801.89	(1,2 <sup>+</sup> )	3916.408	0 <sup>+</sup>		
5997.30 31	0.34 6	5998.10	2 <sup>+</sup>	0.0	0 <sup>+</sup>	Q	
6010.3 3	0.50 8	8138.10	(1) <sup>-</sup>	2127.564	2 <sup>+</sup>		
6035.68 7	4.4 5	(11417.223)	1 <sup>+,2<sup>+</sup></sup>	5380.99	1 <sup>+</sup>		

<sup>33</sup>S(n, $\gamma$ ) E=thermal    1985Ra15 (continued) $\gamma(^{34}\text{S})$  (continued)

E <sub><math>\gamma</math></sub>	I <sub><math>\gamma</math></sub> <sup>†@</sup>	E <sub>i</sub> (level)	J <sub>i</sub> <sup><math>\pi</math></sup>	E <sub>f</sub>	J <sub>f</sub> <sup><math>\pi</math></sup>	Mult. <sup>‡</sup>	Comments
6077.27 12	1.19 13	8205.40	(1 <sup>-</sup> to 4 <sup>+</sup> )	2127.564	2 <sup>+</sup>		
6094.4 4	0.21 5	(11417.223)	1 <sup>+,2<sup>+</sup></sup>	5322.51	2 <sup>(-)</sup>		
6152.1 5	0.18 5	10840.64	3 <sup>-</sup>	4688.98	4 <sup>+</sup>		
6166.24 13	1.55 17	8294.39	(0 <sup>+</sup> to 3 <sup>-</sup> )	2127.564	2 <sup>+</sup>		
6188.45 6	8.7 9	(11417.223)	1 <sup>+,2<sup>+</sup></sup>	5228.175	0 <sup>+</sup>		
6236.3 11	0.19 5	10311.53	2 <sup>+</sup>	4074.667	1 <sup>+</sup>		
6241.0 5	0.45 7	9546.09	(1,2 <sup>+</sup> )	3304.212	2 <sup>+</sup>		
6341.6 3	0.45 8	6342.50	1 <sup>-</sup>	0.0	0 <sup>+</sup>	D	
6478.8 <sup>#a</sup>	<0.02 <sup>#</sup>	6478.770	1 <sup>-</sup>	0.0	0 <sup>+</sup>		
6487.48 6	3.6 4	8615.74	(2 <sup>-,3<sup>+</sup></sup> )	2127.564	2 <sup>+</sup>		
6496.62 23	0.56 7	9801.89	(1,2 <sup>+</sup> )	3304.212	2 <sup>+</sup>		
6526.84 6	5.5 6	(11417.223)	1 <sup>+,2<sup>+</sup></sup>	4889.756	2 <sup>+</sup>		
6539.66 16	0.99 12	(11417.223)	1 <sup>+,2<sup>+</sup></sup>	4876.839	3 <sup>+</sup>		
6573.6 4	1.09 19	8702.35	(1 <sup>-,2</sup> )	2127.564	2 <sup>+</sup>		
6600.1 7	0.23 5	8727.63	(1 <sup>-,2<sup>+</sup></sup> )	2127.564	2 <sup>+</sup>		
6727.5 9	0.07 4	(11417.223)	1 <sup>+,2<sup>+</sup></sup>	4688.98	4 <sup>+</sup>		
6745.64 16	2.7 3	8874.02	(1 <sup>-,2,3<sup>+</sup></sup> )	2127.564	2 <sup>+</sup>		
6792.10 3	24.2 23	(11417.223)	1 <sup>+,2<sup>+</sup></sup>	4624.404	3 <sup>-</sup>		Additional information 11.
6846.4 3	0.56 7	6847.90	(1,2 <sup>+</sup> )	0.0	0 <sup>+</sup>		
7218.48 13	2.7 3	7219.28	(2 <sup>+</sup> )	0.0	0 <sup>+</sup>	Q	
7302.2 8	0.28 5	(11417.223)	1 <sup>+,2<sup>+</sup></sup>	4114.813	2 <sup>+</sup>		
7341.67 6	36.5 14	(11417.223)	1 <sup>+,2<sup>+</sup></sup>	4074.667	1 <sup>+</sup>		Additional information 12.
7499.90 5	62 6	(11417.223)	1 <sup>+,2<sup>+</sup></sup>	3916.408	0 <sup>+</sup>		
7536.2 7	0.44 10	9665.74		2127.564	2 <sup>+</sup>		
7629.9 <sup>#a</sup>	<0.33 <sup>#</sup>	7629.907	3 <sup>-</sup>	0.0	0 <sup>+</sup>		
7675.0 8	0.16 4	9801.89	(1,2 <sup>+</sup> )	2127.564	2 <sup>+</sup>		
7708.3 3	0.44 7	9836.70		2127.564	2 <sup>+</sup>		
7780.22 10	3.8 5	7781.22	(1) <sup>-</sup>	0.0	0 <sup>+</sup>		
7973.45 25	0.42 6	7974.72	(1,2 <sup>+</sup> )	0.0	0 <sup>+</sup>		
8036.6 7	0.18 4	8036.30	(1 <sup>-,2<sup>+</sup></sup> )	0.0	0 <sup>+</sup>		
8051.1 6	0.26 5	10179.59	(1,2,3)	2127.564	2 <sup>+</sup>		
8083.5 3	0.47 7	10212.15		2127.564	2 <sup>+</sup>		
8111.99 9	6.1 7	(11417.223)	1 <sup>+,2<sup>+</sup></sup>	3304.212	2 <sup>+</sup>		
8136.98 17	1.40 16	8138.10	(1) <sup>-</sup>	0.0	0 <sup>+</sup>		
8173.8 9	0.16 3	8175.1	(1,2 <sup>+</sup> )	0.0	0 <sup>+</sup>		
8184.70 24	0.64 7	8185.46	(1) <sup>+</sup>	0.0	0 <sup>+</sup>		
8384.28 9	3.43 33	8385.40	1 <sup>-</sup>	0.0	0 <sup>+</sup>		
8505.68 10	4.7 5	8506.77	1 <sup>-</sup>	0.0	0 <sup>+</sup>		
8726.78 24	0.44 6	8727.63	(1 <sup>-,2<sup>+</sup></sup> )	0.0	0 <sup>+</sup>		
8804.4 4	0.24 4	8805.66	(1,2 <sup>+</sup> )	0.0	0 <sup>+</sup>		
9024.95 17	0.80 9	9026.31	(1,2 <sup>+</sup> )	0.0	0 <sup>+</sup>		

**$^{33}\text{S}(\text{n},\gamma)$  E=thermal    1985Ra15 (continued)**

**$\gamma(^{34}\text{S})$  (continued)**

$E_\gamma$	$I_\gamma^{\dagger @}$	$E_i(\text{level})$	$J_i^\pi$	$E_f$	$J_f^\pi$	Mult. <sup>‡</sup>
9206.7 3	0.35 5	9208.04	(1,2 <sup>+</sup> )	0.0	0 <sup>+</sup>	
9288.28 16	1.10 12	(11417.223)	1 <sup>+,2<sup>+</sup></sup>	2127.564	2 <sup>+</sup>	
9544.8 3	0.38 5	9546.09	(1,2 <sup>+</sup> )	0.0	0 <sup>+</sup>	
9932.1 6	0.082 19	9933.35	1 <sup>-</sup>	0.0	0 <sup>+</sup>	E1
11415.17 11	7.1 7	(11417.223)	1 <sup>+,2<sup>+</sup></sup>	0.0	0 <sup>+</sup>	

<sup>†</sup>  $\sigma$ (mb). 1985Ra15 give cross sections in mb and quote a multiplication factor of 0.220 to obtain intensities per 100 thermal neutron captures.

<sup>‡</sup> From Adopted Gammas.

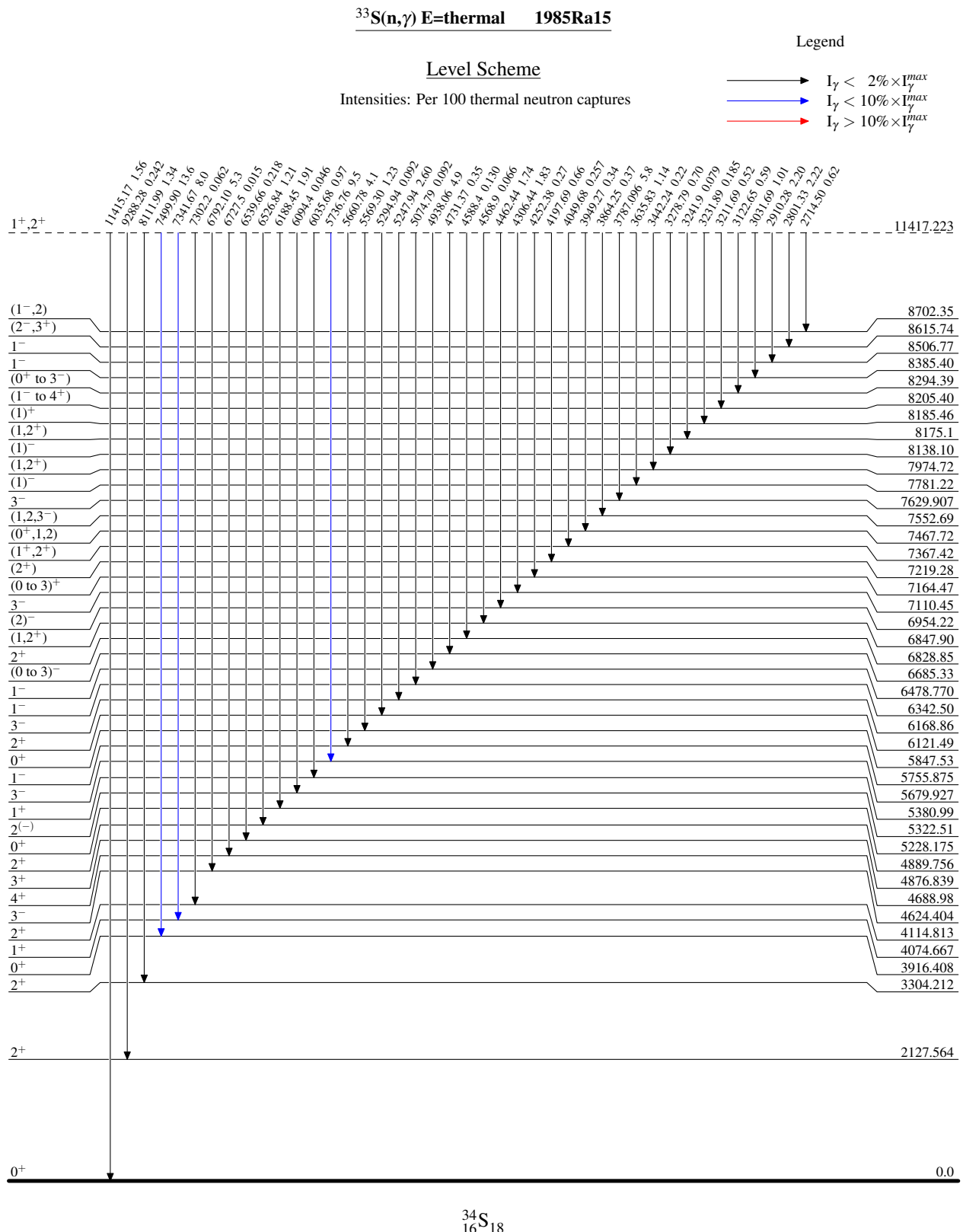
<sup>#</sup> Energy from level-energy difference. Intensity is an upper limit, deduced from Table IX of 1985Ra15.

<sup>@</sup> For intensity per 100 neutron captures, multiply by 0.220 15.

<sup>&</sup> Multiply placed with undivided intensity.

<sup>a</sup> Placement of transition in the level scheme is uncertain.

<sup>x</sup>  $\gamma$  ray not placed in level scheme.

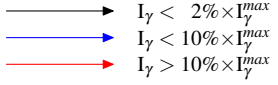
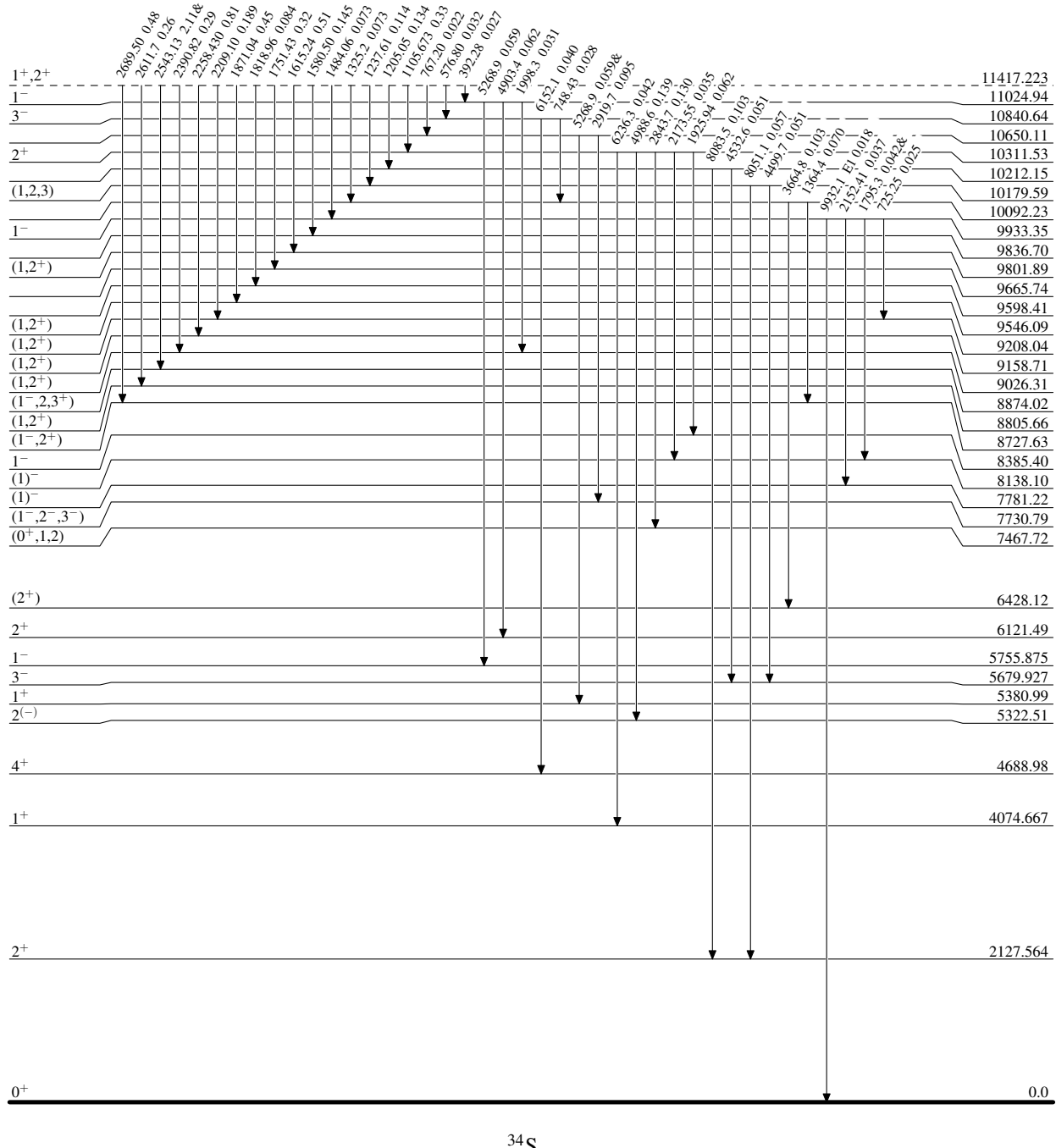


$^{33}\text{S}(\text{n},\gamma)$  E=thermal    1985Ra15

## Level Scheme (continued)

Intensities: Per 100 thermal neutron captures  
 & Multiply placed: undivided intensity given

Legend

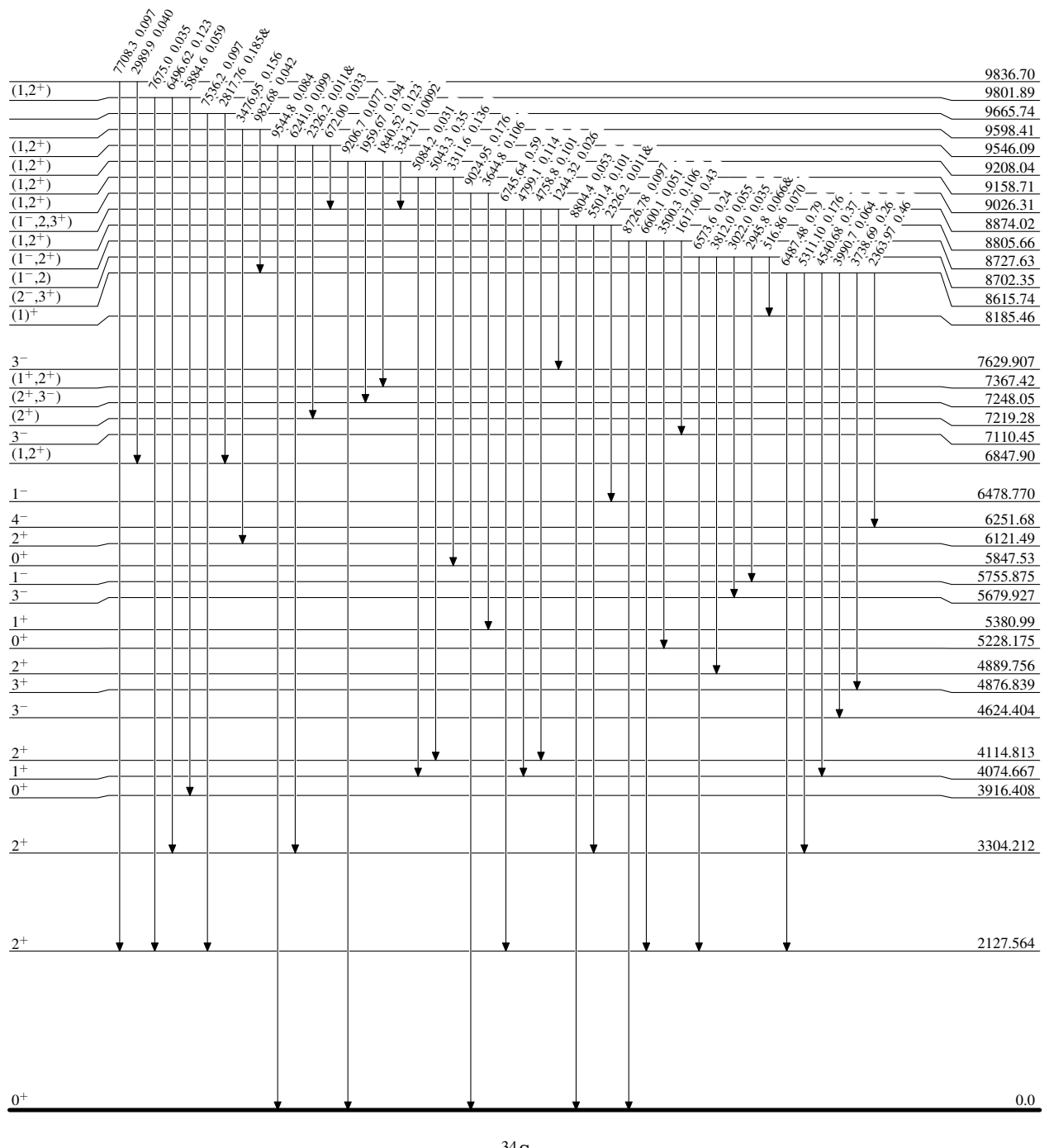



$^{33}\text{S}(\text{n},\gamma)$  E=thermal 1985Ra15

## Level Scheme (continued)

Intensities: Per 100 thermal neutron captures  
& Multiply placed: undivided intensity given

## Legend



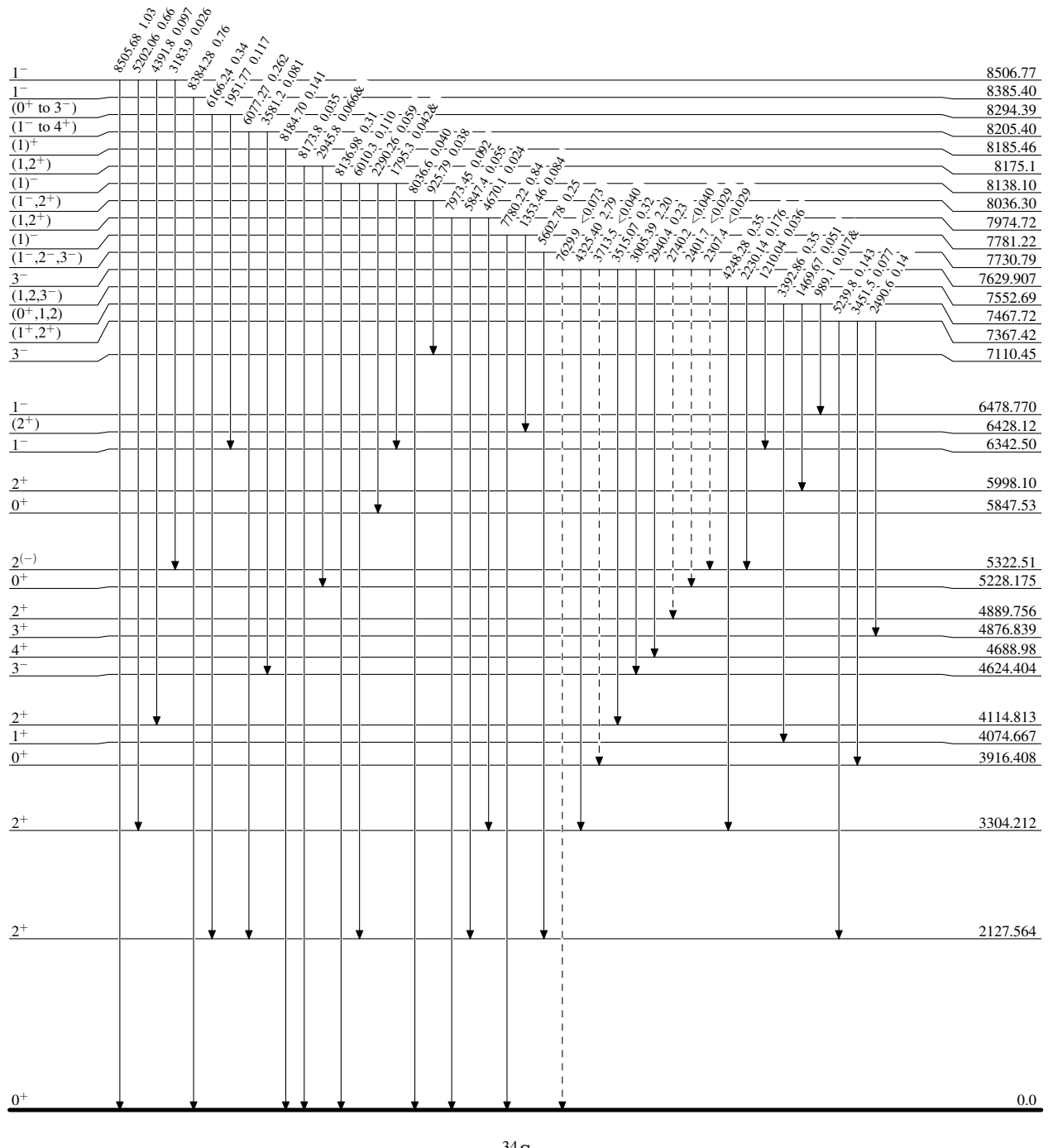
$^{33}\text{S}(\text{n},\gamma)$  E=thermal 1985Ra15

## Level Scheme (continued)

Intensities: Per 100 thermal neutron captures  
 & Multiply placed: undivided intensity given

## Legend

- $I_\gamma < 2\% \times I_\gamma^{\max}$
- $I_\gamma < 10\% \times I_\gamma^{\max}$
- $I_\gamma > 10\% \times I_\gamma^{\max}$
- - - - - →  $\gamma$  Decay (Uncertain)



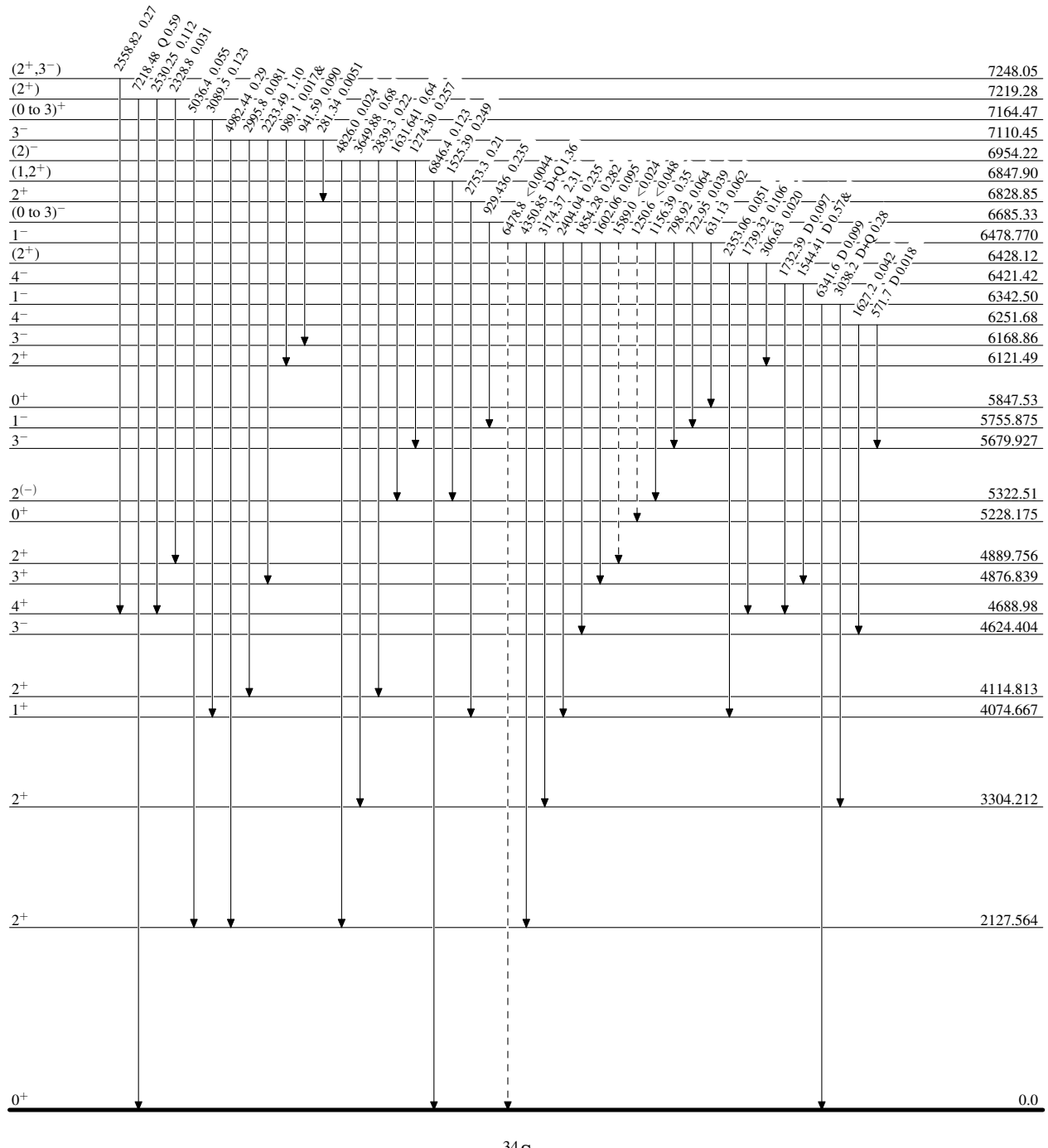
$^{33}\text{S}(\text{n},\gamma)$  E=thermal 1985Ra15

## Legend

## Level Scheme (continued)

Intensities: Per 100 thermal neutron captures  
 & Multiply placed: undivided intensity given

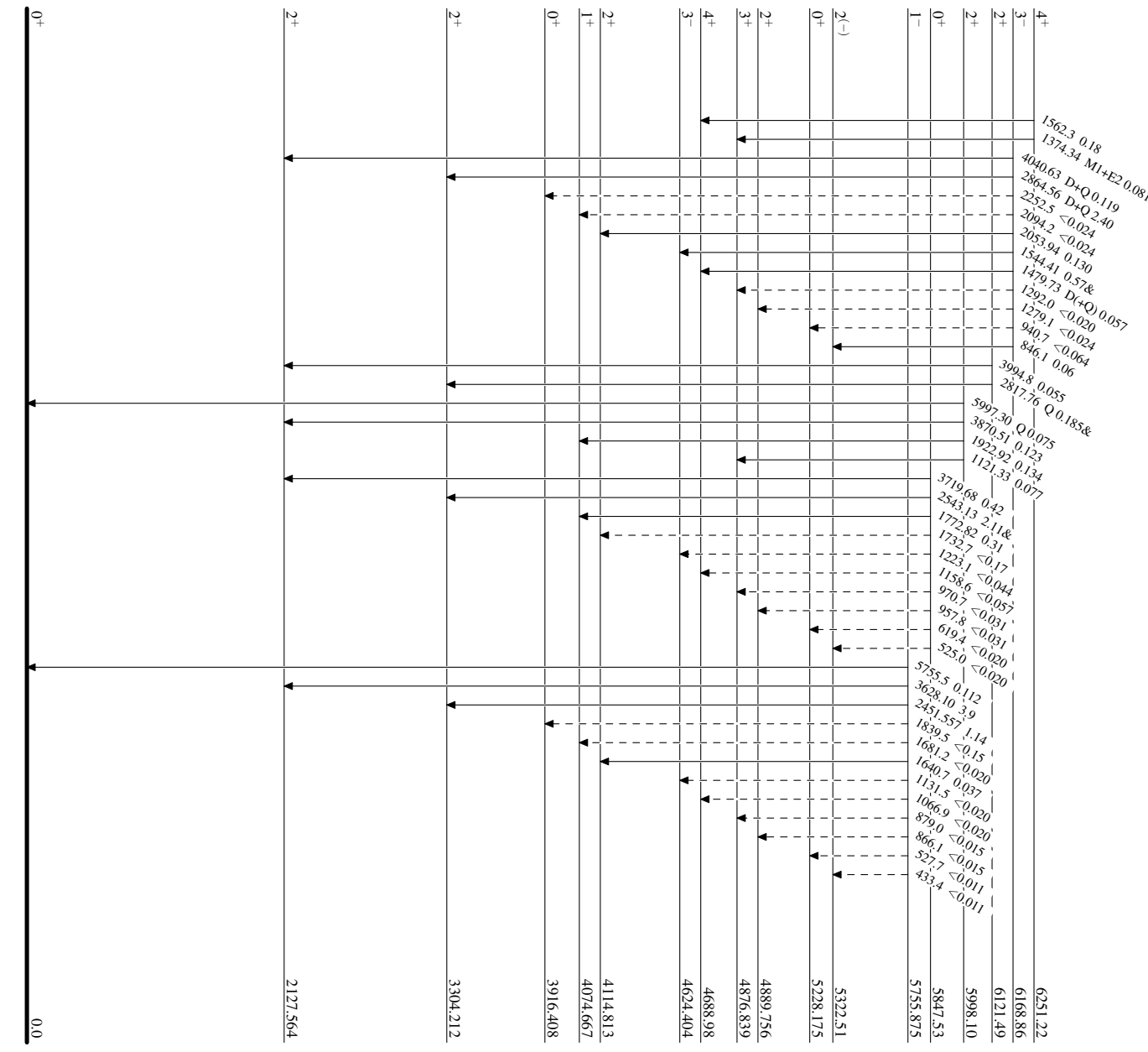
- $I_{\gamma} < 2\% \times I_{\gamma}^{\max}$
- $I_{\gamma} < 10\% \times I_{\gamma}^{\max}$
- $I_{\gamma} > 10\% \times I_{\gamma}^{\max}$
- - - - - →  $\gamma$  Decay (Uncertain)



**$^{33}\text{S}(\text{n},\gamma)$  E=thermal    1985Ra15****Level Scheme (continued)**

Intensities: Per 100 thermal neutron captures  
& Multiply placed: undivided intensity given

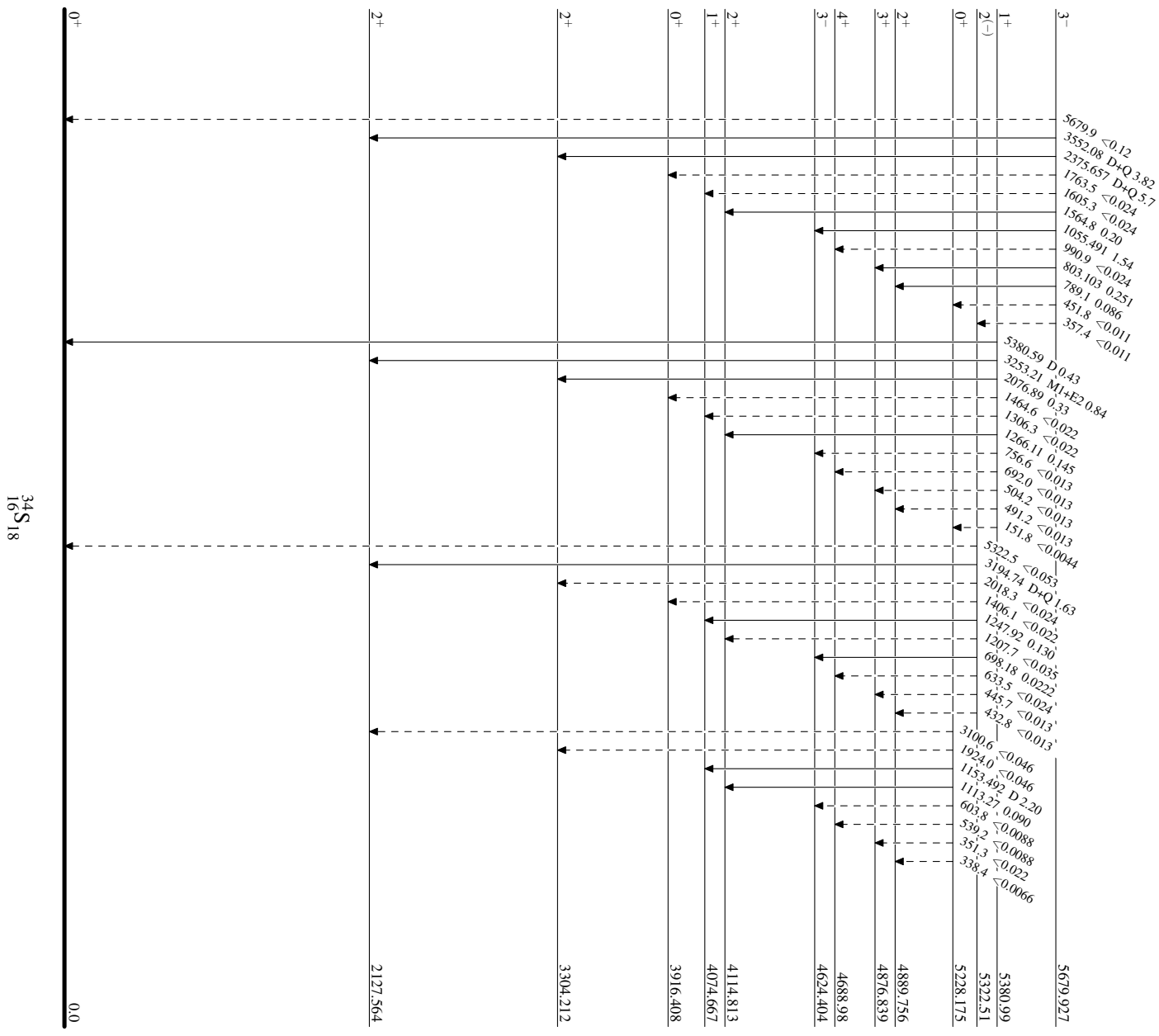
- Legend
- $I_{\gamma} < 2\%$  of  $I_{\gamma}^{\max}$
  - $I_{\gamma} < 10\% \times I_{\gamma}^{\max}$
  - $I_{\gamma} > 10\% \times I_{\gamma}^{\max}$
  - - -  $\gamma$  Decay (Uncertain)



**$^{33}\text{S}(\text{n},\gamma)$  E=thermal    1985Ra15****Level Scheme (continued)**

Intensities: Per 100 thermal neutron captures  
& Multiply placed: undivided intensity given

Legend	
$I_\gamma < 2\%$ $\times I_{\gamma}^{\max}$	Blue arrow
$I_\gamma < 10\%$ $\times I_{\gamma}^{\max}$	Red arrow
$I_\gamma > 10\% \times I_{\gamma}^{\max}$	Black arrow
$\gamma$ Decay (Uncertain)	Dashed arrow



$^{33}\text{S}(\text{n},\gamma)$  E=thermal 1985Ra15

## Level Scheme (continued)

Intensities: Per 100 thermal neutron captures  
& Multiply placed; undivided intensity given

	Legend
$I_\gamma < 2\%$ $\times I_{\gamma}^{\max}$	—→
$I_\gamma < 10\%$ $\times I_{\gamma}^{\max}$	—→
$I_\gamma > 10\%$ $\times I_{\gamma}^{\max}$	—→
$\gamma$ Decay (Uncertain)	—→

